

# Mattak, Drivning 4, Vegard G. Jorrell

## Oppg. 1a)

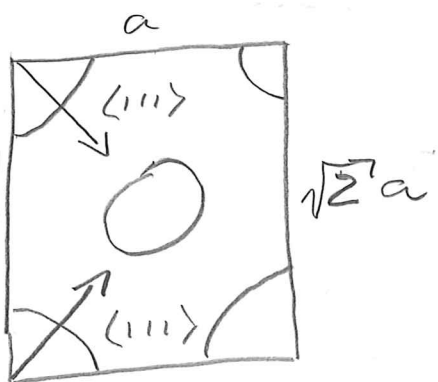
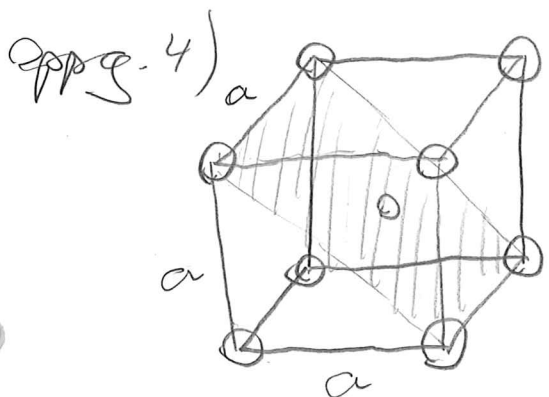
Et Slip-system er et slipplan, altså et plan som det lettare kan forslamme dislokasjoner i, og ett slippretning, altså retningen disse dislokasjonene flyr i.

16) Nei, fordi forskjellig krysstallstrukturer

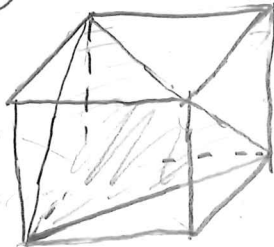
## Oppg. 2)

Fordi horngrønse ikke "åpnes opp" vil ikke et horn deformeres før nabohornene også kan deformeres. Ved lav-vinkel horngrønse vil et horn og dens nabo deformeres ved ca. samme stress, mens ved høy-vinkel horngrønse vil slip-planene være mer forskjellig orientert og det vil vere større fergell i stresset som krever for å deformere hornene.

Oppg. 3) HCP Har fårr "aktive" slipsystemer  
ds. Fårr plan med høy plantetthet og fårr retninger i de planene med høy linær tethet.



Opgøg. 5)



Spørsmål: Giv ikke mening om Er FCC-hvælstaller orienteret i Schmidt-faktoren sin  $[120]$  retning? Er hvælstaller orienteret i sin egen  $[120]$  retning?

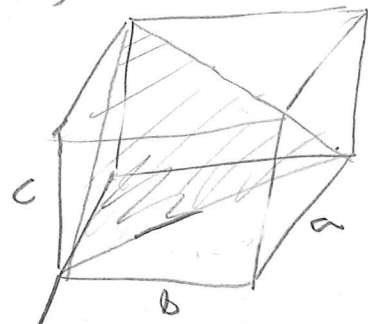
Antar at det skulle stå "... for en FCC ekkristall orienteret med sin  $[120]$  retning parallel til belastningsretningen"

Oppg. 6)

$$\tilde{\sigma}_{12} = \sigma \cos(\varphi) \cos(\lambda)$$

$\tilde{\sigma}_{12} = 4,9 \text{ MPa} < \tilde{\sigma}_{\text{crss}} \rightarrow$  little plastic deformation.

Oppg. 7)



$$\hat{\sigma} = \langle 100 \rangle \quad \tilde{\sigma}_{\text{crss}} = 0,5 \text{ MPa}$$

$$\vec{n} = \langle 111 \rangle$$

$$\varphi = \angle(\sigma, \vec{n}), \quad \lambda = \angle(\vec{s}, \sigma)$$

$$\tilde{\sigma}_{12} = \sigma \cos(\varphi) \cos(\lambda)$$

$$\tilde{\sigma}_{12} = \sigma \left( \frac{\hat{\sigma} \cdot \vec{n}}{|\hat{\sigma}| |\vec{n}|} \right) \left( \frac{\hat{\sigma} \cdot \vec{s}}{|\hat{\sigma}| |\vec{s}|} \right) = \tilde{\sigma}_{\text{crss}}$$

$$\hat{\sigma} \cdot \vec{n} = 1$$

$$|\hat{\sigma}| |\vec{n}| = \sqrt{3}$$

$$\sigma = \frac{\tilde{\sigma}_{\text{crss}}}{\left( \frac{\hat{\sigma} \cdot \vec{n}}{|\hat{\sigma}| |\vec{n}|} \right) \left( \frac{\hat{\sigma} \cdot \vec{s}}{|\hat{\sigma}| |\vec{s}|} \right)}$$

$$\vec{s} = \langle 10\bar{1} \rangle : \hat{\sigma} \cdot \vec{s} = 1, \quad |\hat{\sigma}| |\vec{s}| = \sqrt{2} \rightarrow \underline{\sigma = 1,22 \text{ MPa}}$$

$$\vec{s} = \langle 1\bar{1}0 \rangle : \underline{\underline{\quad \quad \quad}} \rightarrow \underline{\sigma = 1,22 \text{ MPa}}$$

$$\vec{s} = \langle 0\bar{1}1 \rangle : \hat{\sigma} \cdot \vec{s} = 0 \rightarrow \lambda = 90^\circ \rightarrow \underline{\text{Bruch}}, \underline{\text{little deformation}}$$

## Oppg 8)

### Kornstørrelse redusjon

- mindre korn gir store kringkarseler,
- kringkarsler hindrer deformasjon som fortalt i oppg 2.

### Fast løsning - harding

Når det dannes en fast løsning med atomer i substitusjonsell posisjon vi atomradien til de opploste atomene ville litt forskjellig fra "løsningsmiddeld". Disse deformerer den omkringliggende strukturen på en måte som delvis konsoliderer det utvendige streng.

### Stress - harding

Påføre stress ved lav (rom-) temperatur.  
Øker tettet til dislokasjoner. Disse får større innvande pga. Spennin i gitterstrukturen. Høyre tettet av dislokasjoner gir svake beregningst for dislokasjonene.  $\rightarrow$  Hardere og sprøre materiale

## Oppg 9)

1040

- Stål har flytegrunnse på 450 MPa og Dalheit ca. 27% ved 0% cold work
- Mølling har ca. 310 MPa og 30% ved ca. 15% cold work